



Politechnika Wrocławska

**Badanie efektywności algorytmu Bellmana-Forda  
w zależności od rozmiaru i gęstości grafu**

Struktury Danych

Projekt 2

Hanna Grzebieluch, 264209

Termin zajęć: Wtorek, 17<sup>05</sup> – 18<sup>35</sup>

Kod grupy: K00-35f

WYDZIAŁ INFORMATYKI I TELEKOMUNIKACJI  
INFORMATYCZNE SYSTEMY AUTOMATYKI

13 czerwca 2023

# Spis treści

<b>1</b>	<b>Wstęp</b>	<b>3</b>
<b>2</b>	<b>Zasada działania algorytmu, lista sąsiedztwa</b>	<b>3</b>
<b>3</b>	<b>Badanie efektywności na różnych rodzajach grafów</b>	<b>4</b>
3.1	Różne wielkości grafów . . . . .	4
3.2	Zmiana wywołana poprzez zwiększenie liczby krawędzi . . . . .	5
3.3	Zestawienie pomiarów . . . . .	6
3.3.1	Generator grafów . . . . .	6
<b>4</b>	<b>Wnioski</b>	<b>7</b>

# 1 Wstęp

Algorytm Bellmana-Forda służy do wyszukiwania najkrótszych ścieżek w grafie ważonym z wierzchołka źródłowego do wszystkich pozostałych wierzchołków.[1] W odróżnieniu od algorytmu Dijkstry, dopuszcza ujemne wagi krawędzi. Algorytm może być także efektywnie używany do sprawdzenia występowania cykli ujemnych (ponieważ on sam ich nie dopuszcza).

## 2 Zasada działania algorytmu, lista sąsiedztwa

Algorytm dla każdego z wierzchołków przechowuje dwie wartości: koszt dotarcia do bieżącego wierzchołka **d** oraz wierzchołek poprzedni **p**. Dla wierzchołka startowego kosztem dotarcia jest 0, a poprzednim wierzchołkiem jest -1.

Algorytm analizowany jest na przykładzie implementacji listy sąsiedztwa. Początkowo inicjujemy wszystkie komórki tablicy dotarcia na nieskończoność lub największą możliwą wartość - wyjątkiem jest komórka odwzorowująca wierzchołek startowy, gdyż w niej umieszczamy wartość 0. W komórkach tablicy dotyczących poprzedników umieszczamy natomiast wartość -1.

Całość powtarzamy **n-1** razy (gdzie przez **n** rozumiemy liczbę krawędzi), a następnie dokonujemy tzw. relaksacji krawędzi. Metoda relaksacji, która pomaga nam wykryć ewentualne cykle ujemne, polega na sprawdzeniu, czy przy przejściu daną krawędzią grafu ( $u, v$ ) o wadze  $k$  koszt dojścia jest większy od kosztu dojścia  $+ k$  ( $k$  to waga), tj. dojście do wierzchołka  $v$  od wierzchołka  $u$  tą krawędzią jest tańsze od poprzednio znalezionych dojść. Jeśli natrafimy na taką krawędź, to ustawiamy koszt dojścia **d[v]** na koszt dojścia **d[u] + k** i w tablicy poprzedników dla **p[v]** umieszczamy numer wierzchołka  $u$ . Po wykonaniu  $n-1$  obiegów, tablica **d** będzie zawierać koszty dojść do każdego z poszczególnych wierzchołków. Tablica **p** natomiast będzie dla każdego wierzchołka przechowywać jego poprzednika na wyznaczonej ścieżce.

Aby poprawnie sprawdzić występowanie cykli ujemnych, należy ponownie przejrzeć zbiór krawędzi. W przypadku natrafienia na krawędź  $u-v$  o wadze  $k$ , dla której dalej koszt dojścia **d[v]** jest większy od **d[u] + k**, to mamy do czynienia z cyklem ujemnym. [2]

### 3 Badanie efektywności na różnych rodzajach grafów

#### 3.1 Różne wielkości grafów

W celu zbadania efektywności algorytmu, dokonano pomiarów wyszukiwania najkrótszej ścieżki na grafach o odpowiednio 5, 10, 15 i 20 wierzchołkach.

```
Wierzcholek startowy: 0
Wierzcholek | Waga | Sciezka
0:          | 0   | 0
1:          | 3   | 0 1
2:          | -5  | 0 1 2
3:          | -7  | 0 1 3
4:          | 5   | 0 1 4

czas dla 5 wierzchołkow grafu: 0.002
```

Czas wykonania algorytmu dla grafu o 5 wierzchołkach

```
Wierzcholek startowy: 0
Wierzcholek | Waga | Sciezka
0:          | 0   | 0
1:          | 4   | 0 1
2:          | 10  | 0 1 3 2
3:          | 11  | 0 1 3
4:          | 9   | 0 1 4
5:          | 19  | 0 1 3 5
6:          | 14  | 0 1 3 6
7:          | 13  | 0 1 3 6 7
8:          | 23  | 0 1 3 5 8
9:          | 16  | 0 1 3 6 7 9

czas dla 10 wierzchołkow grafu: 0.005
```

Czas wykonania algorytmu dla grafu o 10 wierzchołkach

```
Wierzcholek startowy: 0
Wierzcholek | Waga | Sciezka
0:          | 0   | 0
1:          | 3   | 0 1
2:          | 9   | 0 2
3:          | 4   | 0 1 4 6 3
4:          | 0   | 0 1 4
5:          | 11  | 0 1 4 6 3 5
6:          | 7   | 0 1 4 6
7:          | 14  | 0 1 4 6 11 9 8 7
8:          | 14  | 0 1 4 6 11 9 8
9:          | 10  | 0 1 4 6 11 9
10:         | 18  | 0 1 4 6 13 10
11:         | 10  | 0 1 4 6 11
12:         | 21  | 0 1 4 6 13 10 12
13:         | 13  | 0 1 4 6 13
14:         | 15  | 0 1 4 6 11 14

czas dla 15 wierzchołkow grafu: 0.005
```

Czas wykonania algorytmu dla grafu o 15 wierzchołkach

```
Wierzcholek | Waga | Sciezka
0:          | 0   | 0
1:          | 4   | 0 1
2:          | 0   | 0 3 5 7 4 2
3:          | 5   | 0 3
4:          | 2   | 0 3 5 7 4
5:          | 7   | 0 3 5
6:          | 8   | 0 3 5 7 6
7:          | 5   | 0 3 5 7
8:          | 15  | 0 3 5 7 6 8
9:          | 13  | 0 3 5 7 9
10:         | 11  | 0 3 5 7 6 8 10
11:         | 13  | 0 3 5 7 6 8 10 11
12:         | 10  | 0 3 5 7 6 8 10 11 12
13:         | 7   | 0 3 5 7 6 8 10 11 13
14:         | 13  | 0 3 5 7 6 8 10 11 12 14
15:         | 11  | 0 3 5 7 6 8 10 11 12 14 16 15
16:         | 9   | 0 3 5 7 6 8 10 11 12 14 16
17:         | 3   | 0 3 5 7 6 8 10 11 12 14 16 18 17
18:         | 8   | 0 3 5 7 6 8 10 11 12 14 16 18
19:         | 10  | 0 3 5 7 6 8 10 11 12 14 16 18 19

czas dla 20 wierzchołkow grafu: 0.006
```

Czas wykonania algorytmu dla grafu o 20 wierzchołkach

### 3.2 Zmiana wywołana poprzez zwiększenie liczby krawędzi

<pre> Wierzcholek startowy: 0 Wierzcholek   Waga   Sciezka 0:            0   0 1:            4   0 1 2:            10   0 1 3 2 3:            11   0 1 3 4:            9   0 1 4 5:            19   0 1 3 5 6:            14   0 1 3 6 7:            13   0 1 3 6 7 8:            23   0 1 3 5 8 9:            16   0 1 3 6 7 9  czas dla 10 wierzchołkow grafu: 0.005 </pre>	<pre> Wierzcholek startowy: 0 Wierzcholek   Waga   Sciezka 0:            0   0 1:            4   0 1 2:            10   0 1 3 2 3:            11   0 1 3 4:            9   0 1 4 5:            18   0 1 5 6:            14   0 1 3 6 7:            13   0 1 3 6 7 8:            22   0 1 5 8 9:            16   0 1 9  czas dla 10 wierzchołkow grafu: 0.003 </pre>
---	---

Czas wykonania algorytmu dla grafu o 10 wierzchołkach

Czas wykonania algorytmu dla grafu o 10 wierzchołkach, ale większej liczbie krawędzi

Rysunek 3: Porównanie zmian w czasie działania po dodaniu większej liczby krawędzi do grafu o 10 wierzchołkach

<pre> Wierzcholek startowy: 0 Wierzcholek   Waga   Sciezka 0:            0   0 1:            3   0 1 2:            9   0 2 3:            4   0 1 4 6 3 4:            0   0 1 4 5:            11   0 1 4 6 3 5 6:            7   0 1 4 6 7:            14   0 1 4 6 11 9 8 7 8:            14   0 1 4 6 11 9 8 9:            10   0 1 4 6 11 9 10:           18   0 1 4 6 13 10 11:           10   0 1 4 6 11 12:           21   0 1 4 6 13 10 12 13:           13   0 1 4 6 13 14:           15   0 1 4 6 11 14  czas dla 15 wierzchołkow grafu: 0.005 </pre>	<pre> Wierzcholek startowy: 0 Wierzcholek   Waga   Sciezka 0:            0   0 1:            3   0 1 2:            -9   0 1 13 10 8 7 2 3:            -26   0 1 13 14 9 3 4:            -31   0 1 13 14 9 3 4 5:            -40   0 1 13 14 9 3 4 5 6:            -41   0 1 13 14 9 3 4 5 6 7:            -13   0 1 13 10 8 7 8:            -13   0 1 13 10 8 9:            -18   0 1 13 14 9 10:           -15   0 1 13 10 11:           -38   0 1 13 14 9 3 4 5 6 11 12:           -12   0 1 13 10 12 13:           -20   0 1 13 14:           -12   0 1 13 14  czas dla 15 wierzchołkow grafu: 0.008 </pre>
---	--

Czas wykonania algorytmu dla grafu o 15 wierzchołkach

Czas wykonania algorytmu dla grafu o 15 wierzchołkach, ale większej liczbie krawędzi

Rysunek 4: Porównanie zmian w czasie działania po dodaniu większej liczby krawędzi do grafu o 10 wierzchołkach

### 3.3 Zestawienie pomiarów

l. wierzchołków	czas [ms]
5	0.002
10	0.005
15	0.005
20	0.006

Tabela 1: Czasy działania algorytmów dla wybranych ilości wierzchołków

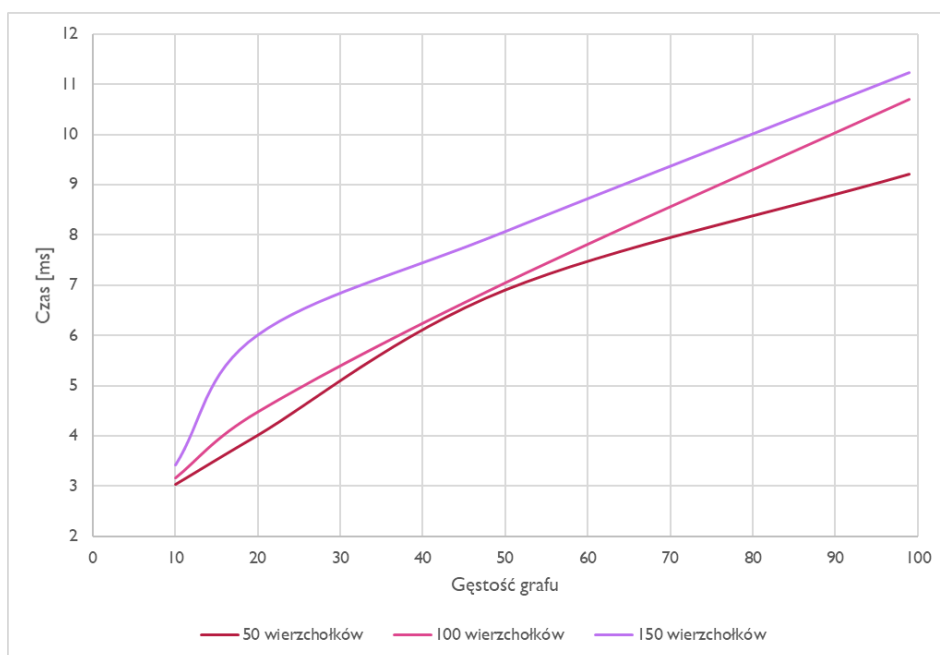
l. wierzchołków	l. krawędzi	czas [ms]
10	19	0.005
	35	0.003
15	30	0.005
	52	0.008

Tabela 2: Porównanie czasów działania algorytmów dla wybranych ilości wierzchołków i krawędzi

#### 3.3.1 Generator grafów

Dla ułatwienia przeprowadzenia analizy wydajności algorytmu, w kodzie zawarty został generator losowych grafów, który pozwala na wygenerowanie grafu o porządkanej liczbie wierzchołków i krawędzi (z pewnymi ograniczeniami - takimi jak minimalna i maksymalna liczba krawędzi).

Porównanie czasów działania algorytmu Bellmana-Forda dla różnych wielkości i gęstości grafu:



Rysunek 5: Czas działania algorytmu Bellmana-Forda dla różnych parametrów grafu

## 4 Wnioski

Jak widać na przedstawionych danych, czas działania algorytmu jest związany bezpośrednio z ilością wierzchołków i krawędzi w badanym grafie. Im graf ma więcej wierzchołków lub krawędzi, tym algorytm poświęca więcej czasu na jego przeszukanie. Algorytm Bellmana-Forda znajdowania najkrótszej ścieżki można by jednak usprawnić stosując m.in. kolejkę priorytetową.

## Literatura

- [1] “Algorytm bellmana-forda.” [https://pl.wikipedia.org/wiki/Algorytm\\_Bellmana-Forda](https://pl.wikipedia.org/wiki/Algorytm_Bellmana-Forda). data dostępu: 17.05.2023.
- [2] “Najkrótsza ścieżka w grafie ważonym, algorytm bellmana-forda.” [https://eduinf.waw.pl/inf/alg/001\\_search/0138a.php](https://eduinf.waw.pl/inf/alg/001_search/0138a.php). data dostępu: 19.05.2023.